

佐賀大学理工学部 正員 渡辺 訓用
 学生員 ○荒木 宏之

1. まえがき

掃流・浮流の境界である浮流限界点(a_f)は、浮流砂量を算定するうえで最も重要な要素の一つであり、これまでも、いろいろな考え方已被されてきている。我々は近年、浮流砂量式を提案する際、河床波の波高、波長を相当相度 k_s に refer させて、浮流限界点を $a_f = 0.5k_s$ とし、Einstein 流の $2d$ や砂粒の saltation の高さ H_m とした場合よりも、ほらかにその式の適合性が良いことを示した。⁽¹⁾しかしながら、細砂河床で河床波が崩壊し flat bed における場合(図-3)には、上述の考え方には適用できない。本文は、flat bed の場合の浮流限界点について若干の考察を行ない、水路実験資料により検討を加えたものである。

2. 浮流限界点

flat bed の場合、粒径が大きいと河床付近の砂粒の移動形式は saltation が主であるが、粒径が細く $5/4$ 倍かより小さい場合には saltation 的な移動機構は考え難く、砂粒は河床付近の流れに捕えられ、河床から直接浮上していくものと考えられる。従ってこのような場合には、渦によって砂粒が一回だけ上方に運ばれる高さを浮流限界点とするのが適当であろう。そこで

① 河床付近の小流体塊(渦)によって捕捉された砂粒は、その後に完全に追跡する

② この小流体塊はす方向の速度変動によつて拡散される

③ 捕捉された砂粒は、この渦の寿命時間内の間隔離され $y = Y(t)$ の位置に至る。この高さ $y = Y(t)$ を掃流・浮流の境界とみなす。

④ 河床は平衡状態にあって、粒子の放出端はす方向に一様に分布している。

として、図-1 のように Taylor 型の拡散モデルを考える。

河床にあつた砂粒は、時刻 $t=0$ に小流体塊に捕捉されて浮上し、す方向の速度変動によつて時間と共に上方に拡散され、時刻 t に $y = Y(t) = \int_0^t v(t') dt'$ の位置に至る。

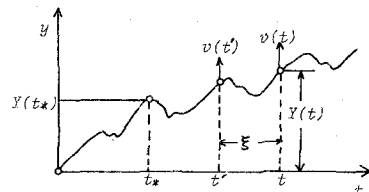
今、Lagrange の相關係数に指数形

$$R_L(\xi) = \frac{v(t') v(t+\xi)}{v^2} = \exp\left(-\frac{\xi}{\tau_k}\right) \quad \dots \text{①}$$

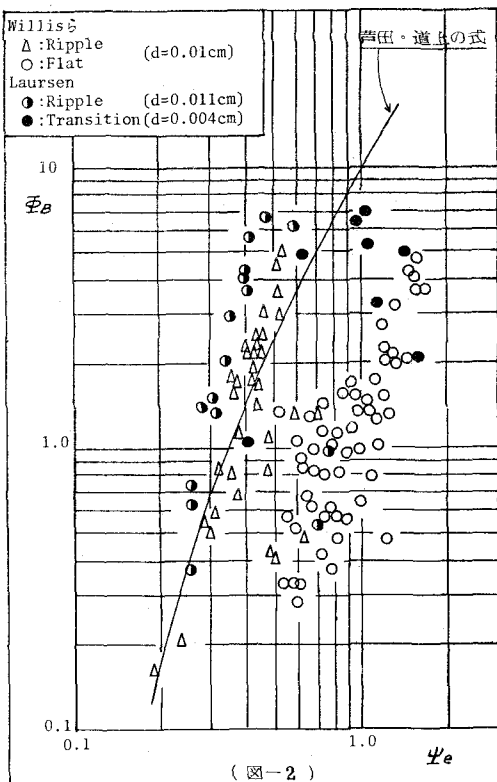
$$\tau_k = \int_0^\infty R_L(\xi) d\xi : \text{渦の平均寿命時間}$$

を仮定すると、時刻 t における拡散幅及び拡散係数は次式で与えられる

$$\sqrt{y} = \sqrt{2} \sqrt{\tau_k} \tau_k \left[\frac{t}{\tau_k} - \left\{ 1 - \exp\left(-\frac{t}{\tau_k}\right) \right\} \right]^{1/2} \quad \dots \text{②}$$



(図-1) Taylor型拡散モデル



(図-2)

$$D = \bar{U}^2 t_* \left\{ 1 - \exp \left(-\frac{t}{t_*} \right) \right\} \quad \dots \dots \textcircled{②}$$

従つて、渦の寿命時間 t_* における \bar{U}^2 は、それそれ

$$\sqrt{\bar{Y}^2} = 0.858 \sqrt{\bar{U}^2} t_*, \quad D = 0.632 \sqrt{\bar{U}^2} t_* \quad \dots \dots \textcircled{③}$$

となる。河床近傍の乱れの様子は明らかでないが、一方ニニ \bar{Z}^2 は拡散係数として断面平均値を用い $D = \beta \frac{K}{8} U_* h$ ($\beta=1.2$)
とし $\sqrt{D} = 0.934h$ とすると、結局、flat bed の場合における落流限界の高さとして

$$a_* = \sqrt{\bar{Y}^2} = 0.292 K h \quad \dots \dots \textcircled{④}$$

が得られる。

3. 計算結果と考察

計算方式は落流限界点を除いて、前回と全く同様であり
最後の式形だけを示すと次の様である。⁽¹⁾

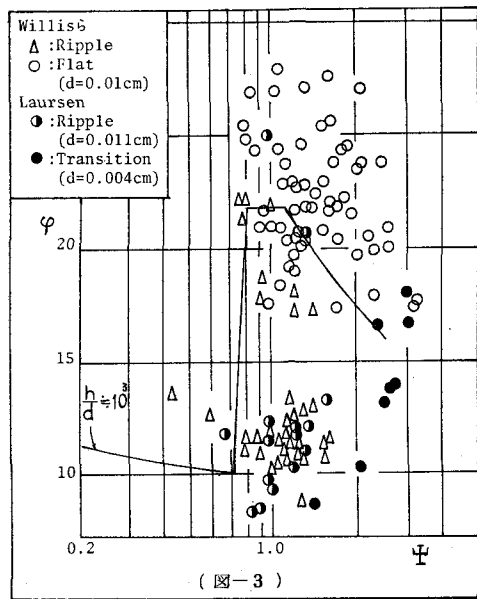
$$\bar{W}_T = \bar{W}_B + \bar{W}_S = \bar{W}_B \left[1 + f \left(\frac{w_e}{U_*} \right) \frac{U_*}{U_{*e}} \frac{1}{\varphi}, \frac{1}{S_*} e^{-z_*} \int_{S_*}^1 \left\{ \frac{6}{K} \left(\zeta - \frac{\zeta^2}{2} \right) + \varphi - \frac{2}{K} \right\} e^{-z_*} d\zeta \right] \quad \dots \dots \textcircled{⑤}$$

計算に使用された資料は Willis ⁽²⁾ と Laursen ⁽³⁾ のもので、
その大部分は河床波が崩壊し遷移・平坦河床域のものである。(図-3)

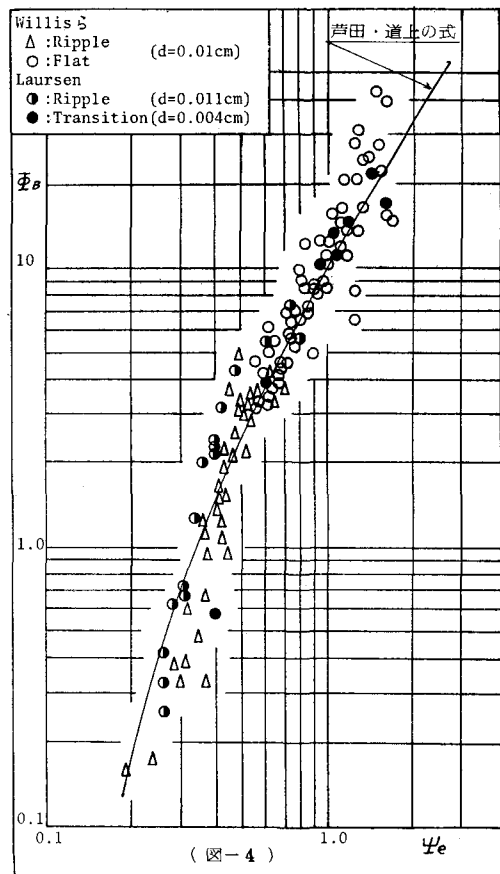
従来通り落流限界点を $a_* = 0.5 h$ として式⑤を用いて全流砂量(\bar{W}_T)より拂流砂量(\bar{W}_B)を逆算した結果が図-2⁽²⁾。
flat bed の場合は散らばりが大きく、芦田・道上の流砂量式とも一致しない。図-4 は前述の拡散幅より求めた落流限界点 $a_* = 0.292 K h$ を用いた結果である。良くまとまり、芦田・道上の式とも良い一致を示している。すなはちこの場合、拂流砂下限濃度 C_B と拂流后濃度 C_B' を連続として方程式とすると良いようである。flat bed の落流限界に対してかなり荒い考え方をしており、オーダー的には flat bed の落流限界高さを求めることができ、このように一応の結果が得られた。今後、実際河川への適合性をも含め、更に検討していくつもりである。最後に本研究に対して、有益な助言をいただいた九州大学の橋款権に感謝の意を表します。

参考文献

- (1) 稲・渡辺「河川における落流砂量の算定について」第31回年譲 551 (2) Willis, Coleman, Ellis 「Laboratory Study of Transport of Fine Sand」 Proc. ASCE HY3, 1972
- (3) Laursen 「The Total Load Sediment of Streams」 Proc. ASCE HY1, 1958



(図-3)



(図-4)